

ной от упругой неоднородности в области ДГ, по порядку величины равна  $\eta\lambda\Delta M^2/C$  ( $C$  — упругий модуль), для  $V_p$  получаем следующую оценку:  $V_p \sim (\omega_0\eta\lambda/C)^2\Delta^3M^3\rho\gamma/a$ . Сравнивая  $V_p$  с выражением (7), нетрудно убедиться, что для реальных численных значений параметров ФМ всегда выполняется условие  $V \gg V_p$ . Следует, однако, отметить, что звуковое давление может быть и основной причиной равномерного движения ДГ. Такая ситуация реализуется, например, в случае продольной поляризации звука, когда  $V=0$ .

Автор выражает благодарность Ю. И. Горобцу за обсуждение результатов работы.

### Список литературы

- [1] Баръяхтар В. Г., Иванов Б. Н. // ФММ. 1975. Т. 39. № 3. С. 478—485.
- [2] Турев Е. А., Луговой А. А. // ФММ. 1980. Т. 59. № 5. С. 903—913.
- [3] Slonczewski J. C. // Intern. J. Magn. 1972. V. 2. № 3. P. 85—97.
- [7] Гребенников Е. А. Метод усреднения в прикладных задачах. М., 1985. 256 с.

Донецкий государственный университет  
Донецк

Поступило в Редакцию  
3 мая 1989 г.

УДК 541.57—162; 548.31

Физика твердого тела, том 31, в. 11, 1989  
Solid State Physics, vol. 31, N 11, 1989

## ОПРЕДЕЛЕНИЕ НИЖНИХ УРОВНЕЙ СПЕКТРА $Np^{4+}$ В $NpOS$ ПО ДАННЫМ МАГНИТНОЙ ВОСПРИИМЧИВОСТИ

A. B. Калинченко

Оксисульфид нептуния  $NpOS$  кристаллизуется в тетрагональную структуру типа  $PbFCl$  (пространственная группа симметрии  $D_{4h}^7$ ). Ион  $Np$  в этой структуре занимает двукратную  $c$ -позицию с точечной симметрией  $C_{4v}$ . Магнитная структура  $NpOS$  до конца не ясна. Тем не менее характер

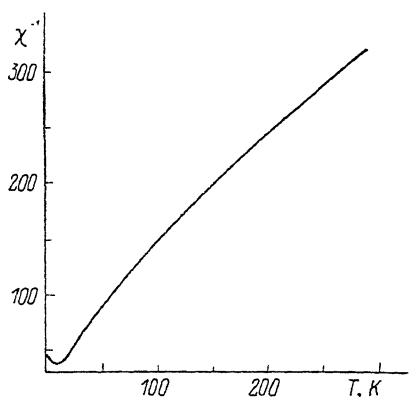


Рис. 1. Температурная зависимость обратной магнитной восприимчивости окиссульфида нептуния [1].

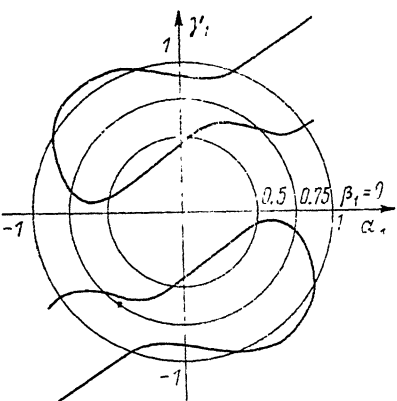


Рис. 2. Результаты численного расчета коэффициентов в волновых функциях дублета  $\Gamma_{16}^{(1)}$ .

Точки пересечения окружностей (условие нормировки) с кривыми определяют наборы значений  $(\alpha_1, \beta_1, \gamma_1)$ .

поведения кривой обратной магнитной восприимчивости [1] говорит о том, что ниже  $T_N \approx 5$  К  $NpOS$  становится антиферромагнетиком. В парамагнитной фазе обратная восприимчивость окиссульфида нептуния линейно зависит от температуры в диапазоне  $T=20 \div 60$  К с эффективным магнитным моментом и парамагнитной температурой Кюри соответственно  $\mu_{\text{eff}} =$

$=2.04 \mu_B$ ;  $\Theta_p=15$  К (рис. 1). Как видно из рис. 1, при  $T \approx 60$  К наблюдается изменение наклона кривой и при  $T \approx 300$  К эффективный магнитный момент составляет  $3.37 \mu_B$  [1]. Измерение мессбауэровских спектров дает значение изомерного сдвига  $\delta=-5.2$  мм/с, что говорит о валентности иона неодимия  $Np^{4+}$  [2]. Цель этой работы — воспользоваться экспериментальными результатами для определения спектра собственных значений энергии иона  $Np^{4+}$  в  $NpOs$ .

В приближении LS-взаимодействия основным мультиплетом свободного иона неодимия будет десятикратно вырожденный уровень  $^4I_{1/2}$  ( $J=9/2$ ). В кристаллическом поле с симметрией  $C_{4v}$  этот мультиплет расщепится на пять дублетов:  $D_{1/2}=3\Gamma_{16}+2\Gamma_7$  (обозначения даны в соответствии с [3]). Поведение обратной магнитной восприимчивости заставляет предположить, что при низких температурах основным состоянием  $Np^{4+}$  будет один из дублетов, а при  $T > 60$  К в магнитную восприимчивость начинает давать вклад первый вышележащий уровень, отделенный от основного энергетической щелью  $\Delta$ . Выберем в качестве основного дублет  $\Gamma_{16}^{(1)}$ , а в качестве первого возбужденного —  $\Gamma_7^{(1)}$ . Перебор вариантов показывает, что никакие другие комбинации двух дублетов не позволяют получить численные значения  $\mu_{\text{eff}}$ , близкие к экспериментальным.

Волновые функции дублета  $\Gamma_{16}^{(1)}$  имеют вид

$$\psi_{1,2} = \alpha_1 \left| \pm \frac{9}{2} \right\rangle + \beta_1 \left| \pm \frac{1}{2} \right\rangle + \gamma_1 \left| \mp \frac{7}{2} \right\rangle. \quad (1)$$

Гамильтониан представляет собой сумму гамильтониана кристаллического поля  $\hat{H}_{\text{cp}}$  и зеемановского слагаемого

$$\hat{H} = \hat{H}_{\text{cp}} + \mu_B (\mathbf{J} + \mathbf{S}) \cdot \mathbf{H}. \quad (2)$$

В базисе (1) он имеет следующие собственные значения:

$$\epsilon_{1,2} = \pm g \sqrt{a_1^2 H_x^2 + b_1^2 (H_x^2 + H_y^2)}, \quad (3)$$

где  $a_1 = 1/2 (9\alpha_1^2 + \beta_1^2 - 7\gamma_1^2)$ ,  $b_1 = 1/2 (6\alpha_1\gamma_1 + 5\beta_1)$ ,  $g = 8/11$  — фактор Ланде.

Используя (3), получим набор значений магнитного момента для дублета (1)

$$M_{1,2}^z = \frac{\partial \epsilon_{1,2}}{\partial H_z} \Big|_{H_x, H_y=0} \begin{cases} H_z \rightarrow 0 \\ H_x, H_y = 0 \end{cases} = \pm g |\alpha_1|, \\ M_{1,2}^x, y = \pm g |\beta_1|. \quad (4)$$

Соответственно продольная и поперечная компоненты магнитной восприимчивости будут иметь вид

$$\chi_{\parallel} = \frac{g^2 (9\alpha_1^2 + \beta_1^2 - 7\gamma_1^2)^2 N_A \mu_B^2}{4k_B (T - \Theta_p)}, \quad \chi_{\perp} = \frac{g^2 (6\alpha_1\gamma_1 + 5\beta_1)^2 N_A \mu_B^2}{4k_B (T - \Theta_p)}. \quad (5)$$

Поскольку в парамагнитной фазе  $\chi = 1/3 \chi_{\parallel} + 2/3 \chi_{\perp}$ , а эффективный магнитный момент связан с восприимчивостью соотношением  $\mu_{\text{eff}} = [3\chi(T - \Theta_p)k_B / (N_A \mu_B^2)]^{1/2}$  [4], получим для системы уровней (1)

$$\mu_{\text{eff}}(\Gamma_{16}^{(1)}) = g \sqrt{a_1^2 + 2b_1^2} \mu_B. \quad (6)$$

Требование  $\mu_{\text{eff}}(\Gamma_{16}^{(1)}) = 2.04 \mu_B$  совместно с условием нормировки  $\alpha_1^2 + \beta_1^2 + \gamma_1^2 = 1$  определяет набор значений коэффициентов в волновых функциях (1). Поскольку на три параметра  $\alpha_1$ ,  $\beta_1$ ,  $\gamma_1$  наложены только два ограничения, то, выбирая один из них, например  $\alpha_1$ , произвольно, можно численно получить зависимости  $\gamma_1 = f(\alpha_1)$  (рис. 2) и  $\beta_1 = f(\alpha_1)$ .

Учет волновых функций дублета  $\Gamma_7^{(1)}$

$$\psi_{3,4} = \alpha_2 \left| \pm \frac{5}{2} \right\rangle + \beta_2 \left| \mp \frac{3}{2} \right\rangle \quad (7)$$

приводит к следующему секулярному уравнению для определения собственных значений гамильтониана (2):

$$\varepsilon^2 (\Delta - \varepsilon)^2 - \varepsilon^2 (a_1^2 H_z^2 + b_1^2 H_{\perp}^2) - (\Delta - \varepsilon)^2 (a_1^2 H_z^2 + b_1^2 H_{\perp}^2) + 2\varepsilon (\Delta - \varepsilon) c^2 H_{\perp}^2 + a_1^2 a_2^2 H_z^4 + (b_1 b_2 - c^2)^2 H_{\perp}^4 + (a_1^2 b_2^2 + a_2^2 b_1^2 + 2a_1 a_2 c^2) H_z^2 H_{\perp}^2 + 16b_1 b_2 c^2 H_z^2 H_{\perp}^2 = 0. \quad (8)$$

Здесь  $a_2 = 1/2 (5\alpha_2^2 - 3\beta_2^2)$ ,  $b_2 = \sqrt{21}\alpha_2\beta_2$ ,  $c = \sqrt{6}\beta_1\beta_2 + 2\gamma_1\alpha_1$ ,  $H_{\perp}^2 = H_x^2 + H_y^2$ . Не приводя громоздкого решения уравнения (8), запишем выражения для высокотемпературной магнитной восприимчивости

$$\chi_{\parallel} = \frac{g^2 (a_1^2 + a_2^2) N_A \mu_B^2}{2k_B (T - \Theta_p)}, \quad \chi_{\perp} = \frac{g^2 (b_1^2 + b_2^2) N_A \mu_B^2}{2k_B (T - \Theta_p)}. \quad (9)$$

Эффективный магнитный момент квартета (1), (7) с учетом (9) будет равен

$$\mu_{\text{eff}} (\Gamma_{16}^{(1)} + \Gamma_{17}^{(1)}) = g \sqrt{1/2 (a_1^2 + a_2^2) + (b_1^2 + b_2^2)}. \quad (10)$$

Экспериментальное значение  $\mu_{\text{eff}} = 3.37 \mu_B$ , полученное в [1], совместно с выражениями (10) и (6) позволяет определить коэффициенты  $\alpha_2$  и  $\beta_2$ , входящие в (7):  $\alpha_2 = 0.167$ ,  $\beta_2 = 0.991$ .

Используя полученные значения вместе с экспериментальными данными [1], можно оценить величину

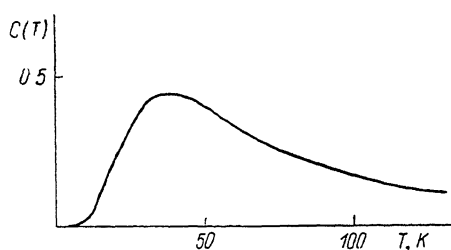


Рис. 3. Зависимость теплоемкости от температуры, рассчитанная на основании полученных результатов.

энергетической щели  $\Delta$  между уровнями. Численный расчет приводит к значению  $\Delta \approx 90$  К.

Таким образом, теория кристаллического поля позволяет, с одной стороны, объяснить поведение магнитной восприимчивости окиссульфида ниобия в парамагнитной фазе, а с другой — определить значения коэффициентов смешивания волновых функций основного и первого возбужденного дублетов, а также дать оценку величины энергетической щели между дублетами. Проверка этих предположений должна включать в себя тепловые измерения. Так, теплоемкость этого соединения должна получать дополнительный вклад за счет присоединения возбужденного уровня. Численные оценки показывают, что это приведет к максимуму на зависимости  $C(T)$  в районе  $T \approx 40$  К (рис. 3). Все другие дублеты спектра расположены выше 300 К, т. е. не попадают в тот температурный интервал, в котором проводились измерения.

#### Список литературы

- [1] Collard J. M., Blaise A., Bogé M., Bonniseau D., Burlet P., Fournier J. M., Lorroque J., Beauvy M. // J. Less-Common Met. 1986. V. 121. P. 313–318.
- [2] Dunlap B. D., Kalvius G. M. Handbook of the Physics and Chemistry of the Actinides. V. 2. / Ed. A. Freeman and G. H. Lander. North-Holland, Amsterdam, 1972.
- [3] Леушин А. М. Таблицы функций, преобразующихся по неприводимым представлениям кристаллографических точечных групп. М.: Наука, 1968. 142 с.
- [4] Смарт Дж. Эффективное поле в теории магнетизма. М.: Мир, 1968. 271 с.

Ростовский-на-Дону инженерно-строительный  
институт  
Ростов-на-Дону

Поступило в Редакцию  
4 мая 1989 г.